

**УДК 624.072.014.2**

**ДОСЛІДЖЕННЯ НАПРУЖЕНО – ДЕФОРМІВНОГО СТАНУ ТА ГРАНИЧНИХ НАВАНТАЖЕНЬ ПЕРФОРОВАНИХ БАЛОК МЕТОДОМ СКІНЧЕНИХ ЕЛЕМЕНТІВ**

**ИССЛЕДОВАНИЕ НАПРЯЖЕННО – ДЕФОРМИРОВАННОГО СОСТОЯНИЯ И ПРЕДЕЛЬНЫХ НАГРУЗОК ПЕРФОРИРОВАННЫХ БАЛОК МЕТОДОМ КОНЕЧНЫХ ЭЛЕМЕНТОВ**

**RESEARCH OF THE STRESS-STRAIN DEFORMED STATE AND LIMIT LOADS OF PERFORATED BEAMS USING THE METHOD OF FINITE ELEMENTS**

**Підгурський М. І., д.т.н., проф.** (Тернопільський національний технічний університет ім. І. Пулюя, м. Тернопіль), **Слободян В. В., аспірант** (Тернопільський національний технічний університет ім. І. Пулюя, м. Тернопіль)

**Пидгурский Н. И., д.т.н., проф.** (Тернопольский национальный технический университет им. И. Пулюя, г. Тернополь), **Слободян В. В., аспирант** (Тернопольский национальный технический университет им. И. Пулюя, г. Тернополь)

**Pidgurskyi M. I., doctor of technical sciences, professor** (Ternopil Ivan Puluj National Technical University, Ternopil), **Slobodian V. V., graduate** (Ternopil Ivan Puluj National Technical University, Ternopil)

**Методом скінчених елементів досліджено напружено – деформівний стан та граничні навантаження балок з шестикутною, круглою, різновидами еліпсоїдної та овальної перфорації. Здійснено порівняння результатів для обґрунтованого компонування раціональних конструктивних форм перфорованих балок.**

**Методом конечных элементов исследовано напряженно – деформированное состояние и предельные нагрузки балок с шестиугольной, круглой, разновидностями эллиптической и овальной перфорацией. Проведено сравнение результатов для обоснований компоновки рациональных конструктивных форм перфорируемых балок.**

**The results of studies of the stress-strain state, stress concentration and limit loads of perforated beams with hexagonal, cellular, varieties oval and elips**

holes were considered, using the method of finite elements. The rational structural forms of perforated beams are compared.

**Ключові слова:**

Балка, перфорація, напруження, деформація, стійкість.

Балка, перфорация, напряжение, деформация, устойчивость.

Beam, perforation, stress, deformation, stability.

**Вступ.** Як відомо, одним із шляхів підвищення ефективності і економічності металевих будівельних конструкцій є розроблення нових, більш раціональних конструктивних форм. До таких конструкцій належать перфоровані балки, які набувають все більшого розповсюдження. Виготовлення перфорованих конструкцій полягає у розрізанні одного прокатного двотавра по зигзагоподібній лінії (залежно від форми перфорації) з регулярним кроком за допомогою газового різання, їх розсунення і подальшого зварювання встик частин двотаврів по виступах стінки [1]. За кількістю рядів перфорація може бути однорядною та дворядною. Вдосконалення технології виготовлення перфорованих балок дозволяє в кінцевому випадку отримувати вирізи різноманітної форми.

**Аналіз останніх досліджень.** Огляд конструктивних рішень балок з вирізами вказує на велике різноманіття форм і розташування вирізів, що застосовуються в будівництві, наводяться їх переваги та недоліки [2 – 4]. У вказаних роботах розглядаються питання оцінки напружено – деформівного стану в перфорованих балках, що викликаний впливом вирізів, а також його впливу на несучу здатність балок та їх ефективне функціонування. Проте наведені у вказаних роботах результати важко співставити між собою через різні геометричні характеристики досліджуваних балок.

**Постановка проблеми.** Вибрати найбільш оптимальні варіанти перфорованих балок можливо лише після аналізу впливу різних елементів конструктивного оформлення на напружено – деформівний стан і стійкість балок. Сюди відносять: вид перфорації – одно – чи дворядну; форму вирізів – шестикутну, круглу, овальну, еліпсовидну та ін., взаємне розташування вирізів, а також їх відносну висоту. Кожна з форм вирізу має свої переваги та недоліки.

**Метою** даної роботи є дослідження та порівняння НДС балок як шестикутної, так і інших форм, що дозволить надійніше оцінювати їх міцність, стійкість, локальні напруження в області вирізів і відповідно знаходити раціональні форми конструкцій, які б забезпечували підвищення несучої здатності балок.

**Методика досліджень.** Аналітичний розрахунок двотаврової балки №60Б2 (рис. 1) прольотом 12м, з рівномірно розподіленим навантаженням  $q=50\text{кН/м}$ , проведений згідно літератури [5, 6]. При розрахунку методом скінчених елементів моделювання балок проводилось у програмному

комплексі SolidWorks2013 та імпортувалось в ANSYS Workbench 15.0. Сітка скінчених елементів виконана з тетраєдрів, розміром 40 мм. Балки, які розглядаються в даній роботі виготовлені з низьколегованої сталі 09Г2С класу С345.

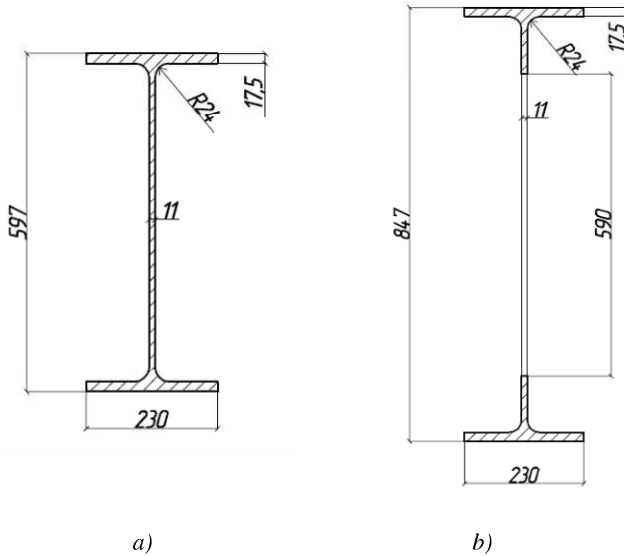
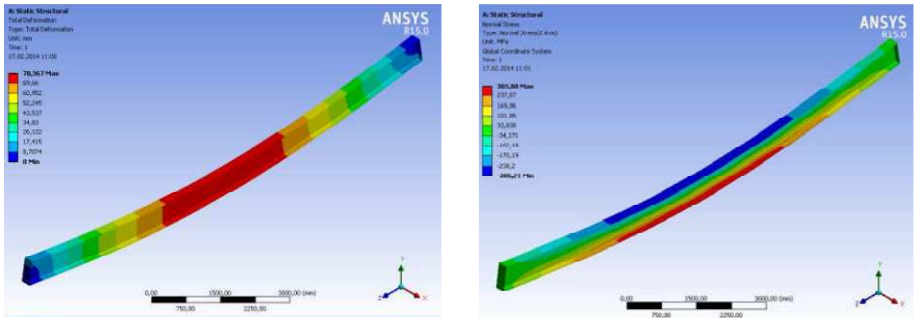


Рис.1. Перерізи балок: *a)* прокатної двотаврової балки №60Б2; *b)* перфорованої балки з висотою отвору 590 мм.

**Результати досліджень.** У програмному комплексі ANSYS MCE проведено розрахунок аналогічної балки, результати розрахунку загальних деформацій, нормальних напружень та оцінки критичного зусилля представлені на рисунках 2, *a* і *b*, 3.



*a)* загальні деформації *b)* нормальні напруження  
Рис. 2. Загальні деформації (*a*) та нормальні напруження (*b*) у суцільній балці

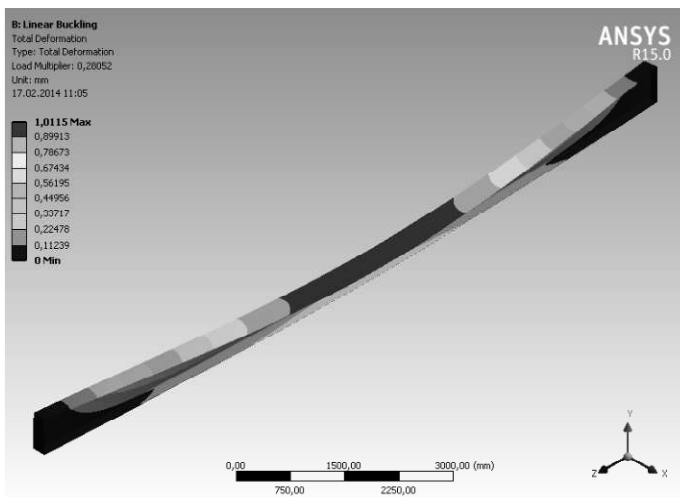


Рис. 3. Оцінка граничного навантаження в суцільній балці

У таблиці 1 наведені дані нормальних напружень, загальних деформацій та критичних зусиль для двох способів розв'язку. При порівнянні результатів нормальних напружень спостерігається відхилення в 0,2%, загальних деформацій - 3,2% та 3,9% для граничного навантаження.

Таблиця 1

Порівняння даних нормальних напружень, загальних деформацій та критичне зусилля при аналітичному розрахунку та обчисленнях МСЕ

| Критерій порівняння  | Аналітичний розрахунок за | МСЕ         | Відхилення, % |
|----------------------|---------------------------|-------------|---------------|
| Нормальні напруження | 306,5 МПа                 | 305,9 МПа   | 0,2           |
| Загальні деформації  | 81 мм                     | 78,4 мм     | 3,2           |
| Критичне зусилля     | 13,5 кН/м                 | 14,026 кН/м | 3,9           |

Аналіз отриманих результатів показав, що спостерігається добра збіжність між аналітичним розрахунком та розрахунком МСЕ.

Оцінка НДС та стійкості балок з різними видами перфорації. Розглянуто балки з наступними видами перфорацій (рисунок 4):

1. Традиційна шестикутна перфорація (А).
2. Кругла перфорація, з діаметром отвору  $D=590$ мм (Б).
3. Овальна (горизонтальна) перфорація (В).
4. Овальна (вертикальна) перфорація (Г).
5. Еліпсоподібна перфорація (Д).
6. Еліпсоподібна перфорація, (повернута на  $45^\circ$ ) (Е).

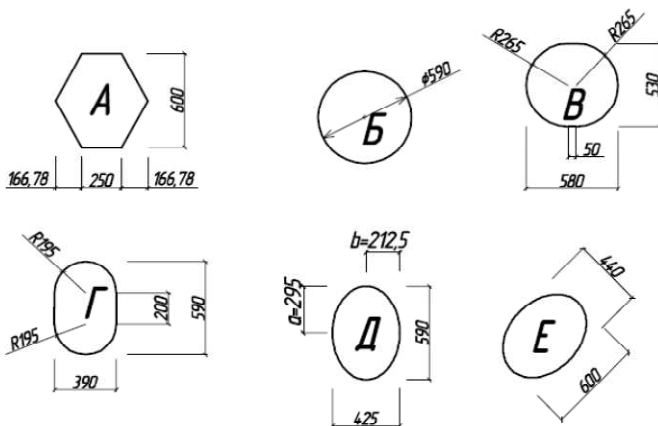


Рис.4. Геометричні характеристики отворів

У таблиці 2 представлено дані щодо висоти балки та отвору, відстані від початку балки до першого вирізу ( $c$ ), відстані між отворами ( $S$ ), кількості, ширини та площі отворів для кожного виду перфорації.

Таблиця 2

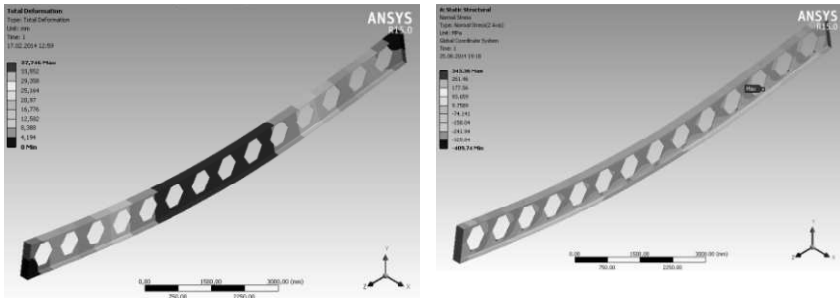
Геометричні характеристики перфорованих балок

| № з/п | Вид перфорації                           | Характеристики   |          |          |                   |               |               |                       |
|-------|--|------------------|----------|----------|-------------------|---------------|---------------|-----------------------|
|       |  | Висота балки, мм | $c$ , мм | $S$ , мм | Кількість отворів | Висота отвору | Ширина отвору | Площа отворів, $см^2$ |
| 1.    | Шестикутна                               | 897              | 250      | 834      | 14                | 600           | 583,56        | 34419,4               |
| 2.    | Кругла                                   | 847              | 270      | 830      | 14                | 590           | 590           | 38256,2               |
| 3.    | Овальна (горизонтальна)                  | 847              | 120      | 740      | 16                | 530           | 580           | 39521,6               |
| 4.    | Овальна (вертикальна)                    | 847              | 160      | 580      | 20                | 590           | 390           | 39480                 |
| 5.    | Еліпсоподібна                            | 847              | 190      | 585      | 20                | 590           | 425           | 39367,8               |
| 6.    | Еліпсоподібна (повернута на $45^\circ$ ) | 847              | 113      | 621,8    | 19                | 526,1         | 501,8         | 39375,6               |
| 7.    | Шестикутна                               | 847              | 250      | 834      | 14                | 500           | 583,56        | 29190                 |

Варто відзначити, що усі види перфорацій мають однакову площу вирізів за винятком шестикутних отворів, що пов'язано з технологією їх

виготовлення. Для шестикутної перфорації характерна одна лінія розривання, на відміну від інших, де їх є дві. У зв'язку з цим спостерігається інша залежність між висотою отриманої балки (висотою вирізу) та площею її отворів. Тому для того, щоб усі розглянуті балки перебували практично в рівних умовах, за основу взято площу отворів.

Результати розрахунку МСЕ для перфорованої балки з шестикутними отворами, а саме загальні деформації, нормальні напруження та критичне зусилля показано на рисунках 5 (a, b) та 6.



a) загальні деформації

b) нормальні напруження

Рис. 5. Загальні деформації (a) та нормальні напруження (b) у перфорованій балці з шестикутними отворами

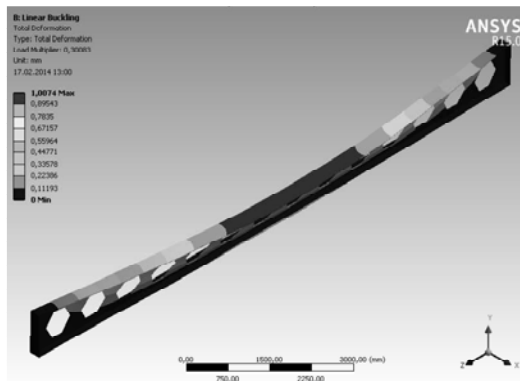


Рис.6. Оцінка граничного навантаження у перфорованій балці з шестикутними отворами

Варто звернути увагу на те, що  $\sigma_{\max}$  знаходиться не посередині балки і не в крайньому отворі. Це пояснюється складним напружено – деформівним станом перфорованих балок.

Результати досліджень (максимальних нормальних напружень, загальних деформацій та критичного зусилля) перфорованих балок зведено в таблицю 3.

Таблиця 3

Значення загальних деформацій, нормальних напружень, критичного зусилля для перфорованих балок

| № з/п | Вид перфорації                   | Висота балки, мм | Максимальні нормальні напруження, МПа |       | Загальні деформації, мм | Граничні навантаження, кН/м |
|-------|----------------------------------|------------------|---------------------------------------|-------|-------------------------|-----------------------------|
|       |                                  |                  | полиця                                | отвір |                         |                             |
| 1.    | Шестикутна                       | 897              | 198                                   | 345,4 | 37,8                    | 15,0415                     |
| 2.    | Кругла                           | 847              | 217                                   | 307   | 44,6                    | 14,657                      |
| 3.    | Овальна (горизонтальна)          | 847              | 214,8                                 | 266   | 45,3                    | 14,5885                     |
| 4.    | Овальна (вертикальна)            | 847              | 220,9                                 | 284,5 | 46,6                    | 14,641                      |
| 5.    | Еліпсоподібна                    | 847              | 218,4                                 | 293,6 | 45,8                    | 14,6415                     |
| 6.    | Еліпсоподібна (повернута на 45°) | 847              | 213                                   | 297,1 | 46,8                    | 14,571                      |
| 7.    | Шестикутна                       | 847              | 208,8                                 | 342   | 49,7                    | 14,933                      |

Аналіз даних таблиці 3 показав, що найменші максимальні нормальні напруження виникають в балках з овальною (горизонтальною) перфорацією. Для балок з шестикутною перфорацією характерні найменші значення загальних деформацій та найбільших граничних навантажень.

**Висновок.** 1. Здійснено моделювання та аналіз напружено – деформівного стану балок з різною перфорацією: шестикутною, круглою, овальною та еліпсоподібною.

2. Відзначено, що вплив виду перфорації на загальний напружено – деформівний стан балок та їх стійкість є несуттєвим (не перевищує 5,5%).

3. Встановлено, що вид перфорації суттєвим чином впливає на локальний напружено – деформівний стан в околі отворів. Найбільша концентрація напружень спостерігається у вершинах шестикутних отворів, що природньо. Порівнюючи круглу, еліпсоподібну та овальну перфорацію відзначимо зменшення максимальних нормальних напружень в околі еліпсоподібних та овальних отворів на 3...13,4% у порівнянні з іншими видами перфорації.

1. Металлические конструкции. В 3 т. Т. 1. Элементы конструкций: Учеб. для строит. вузов/ [В.В. Горев, Б.Ю. Уваров, В.В. Филиппов и др.], под ред. В.В. Горева. - 3-е изд., стер. - М.: Высш. шк., 2004. - 551 с. 2. Konstantinos-Daniel Tsavdaridis, Cedric D'Mello, Vierendeel Bending Study of Perforated Steel Beams with Various Novel Web Opening Shapes, through Non-linear Finite Element Analyses, 2011 - 32 с. 3. Vimalkumar A. Patel, Vipul R. Patel, Vasant S. Patel, Bhavesh C. Pathak, Effect of Different Web Openings in Narrow Flange I Section Beam. - International Journal of Engineering Research & Technology (IJERT), 2013. - С. 186-191. 4. Притыкин А.И. Влияние сдвига на деформации перфорированных балок с шестиугольными вырезами [Текст] / А.И. Притыкин, // Известия вузов. Строительство.. – 2012. – № 3. –С.111-118. 5. Блейх Ф. Устойчивость металлических конструкций. / Ф. Блейх. – гос. изд. физ. – мат. лит. 1959. – 544 с. 6. Металеві конструкції: Загальний курс: Підручник для вищих навчальних закладів / [Нілов О.О., Пермьяков В.О., Шимановський О.В., Білик С.І., Лавріненко Л.І., Белов І.Д., Володимирський В.О.] 2010. – 869 с.